

которые существенным образом отличаются от эвтектических, были получены структуры, подобные эвтектическим. Такое явление выявлено для всех сплавов, за исключением близких к эвтектическим; для таких сплавов уже малые значения G_p/V обеспечивают стойкость плоского фронта кристаллизации.

Когда плоский фронт кристаллизации двухфазных сплавов нарушается, образуются дендриты и однофазные ячейки. Хотя на начальной стадии нарушения плоского фронта каждая из фаз может образовывать выступы, только однофазные ячейки и дендриты могут прорастать в жидкость на большие расстояния от изотермического фронта кристаллизации.

Выводы

1. При описании процесса кристаллизации припоя системы Pb-Sn-Bi условие стойкости плоского фронта кристаллизации состоит в том, что градиент фактической температуры на поверхности распределения твердой и жидкой фаз может быть равным или большим градиента

температуры ликвидус. Некоторые трудности при расчетах связаны с наличием на диаграмме состояния поверхности ликвидус, а не линии ликвидус и возможностью диффузного взаимодействия растворенных компонентов.

2. Окончательная микроструктура сплава состоит из трех фаз: α , β , δ . Фаза α составляет основную массу в микроструктуре, причем ~20% этой фазы представляет первичные кристаллы, другая часть затвердевает в составе эвтектик.

Литература

- Хансен М., Андерко К. Структура двойных сплавов т.1, т.2. Г. Металлургиздат, 1962. – 1488 с.
- Гуляев А.П. Металловедение, 4 изд. –М, "Оборонгиз", 1963. – 460 с.
- Флеминг М. Процессы затвердевания. Пер. с англ. – М, Мир. 1977. – 424 с.
- Лариков Л.Н., Исаичев В.И. Диффузия в металлах и сплавах. Справочник АН УССР. Институт металлофизики – Киев. Научная мысль 1987. – 509 с.

УДК 621.73.002.5

Кривда Л.Т., Гожій С.П.

Національний технічний університет України "Київський політехнічний інститут". Україна, м. Київ

ЧИСЛОВИЙ РОЗРАХУНОК БЕЗТРАНСМІСІЙНОГО ОСЦИЛЯТОРА ПРЕСУ ДЛЯ ШТАМПУВАННЯ ОБКОЧЕННЯМ

Анотація

В статті наведені ключові проблеми пов'язані з проектуванням ефективного обладнання для штампування обкоченням та надано опис програми для числового розрахунку основних параметрів безтрансмісійного осцилятора. Проведено аналіз отриманих результатів та зроблені відповідні висновки.

Abstract

In the article demonstrated problems connected to the designing effective equipment for die rocking process and descriptions of program for calculations basic parameters of less-transmission oscillator. Conditions analysis of received results and made corresponding conclusions.

Вступ

Методи локального об'ємного деформування металів, в тому числі і штампування обкоченням (ШО), мають низку переваг перед традиційними. Але частка таких технологій в загальному обсягу сучасної металообробки не значна, це стосується як вітчизняного виробництва так і зарубіжного. Такий перекіс не на користь штампування обкоченням, окрім недостатньої кількості технологічних

розробок, в першу чергу пов'язаний з обмеженою кількістю спеціальних гідропресових установок для реалізації процесу на ринку ковальсько-штампувального обладнання (КШО). Найбільш масовою пропозицією є гама пресів для ШО фірми SCHMID моделей T200, T400 і T630 [1], які мають значні показники технологічних можливостей для виготовлення широкої гами за типами і розмірами деталей. Але для вітчизняного виробника важливою характеристикою любого обладнання, в тому числі і для ШО, є його вартість. Інші пропозиції на ринку КШО носять більш вузький за технологічними можливостями характер за ціновими пропозиціями вони більш привабливі і виходять, в основному, від російських виробників, які задоволюють свої і ринок обладнання близького зарубіжжя та активізують діяльність своїх науковців в цьому напрямі [2, 3].

З іншої сторони налагодження вітчизняного серійного виробництва обладнання для ШО вимагає вирішення проблем фінансування та створення відповідних технологічних та конструкторських розробок на базі накопичених наукових знань та досвіду. Останнє протягом останніх років з успіхом вирішується кафедрою механіки пластичності матеріалів та ресурсозберігаючих процесів механіко-машинобудівного інституту Національного технічного

університету України "Київський політехнічний інститут" (МПІМ та РП ММІ НТУУ "КПІ"), що відбилось в створенні і впровадженні десятків високоефективних технологічних процесів ШО та різного за призначенням спеціального обладнання. При створенні спеціального обладнання особлива увага приділялась закладенню високих показників ефективності експлуатації ще на стадії проектування. В результаті чого була розроблена конструкція безтрансмісійного осцилятора преса для ШО [4] та проведений аналіз його роботи та навантаження [5]. Розв'язанню задачі знаходження оптимальних параметрів безтрансмісійного осцилятора та представленню результатів його числового розрахунку присвячена ця стаття, що є продовженням досліджень наведених в [5].

Числовий розрахунок параметрів осцилятора

Спеціальне обладнання для ШО є комбінацією двох основних механізмів:

- механізм осьового переміщення, який традиційно має привід від робочого гідроциліндра;
- осцилятор, який сумісно з механізмом осьового переміщення забезпечує гвинтовий рух деформуючого активного інструменту, завдяки якому забезпечується локальний контакт між цим інструментом і заготовкою та впливають всі переваги процесу.

Ціллю створення зазначеного осцилятора є знаходження його оптимальних розмірів та їх співвідношень. Так наприклад, основним елементом осцилятора є сферична опора пресувача. З однієї сторони, її радіус повинен бути достатньо великим для сприйняття питомих зусиль, які виникають від дії технологічного навантаження, що впливає на роботостпроможність обладнання. А з другої, радіус повинен бути мінімальним, так як від його розмірів прямотворціально залежить величина моменту тертя в опорі, що впливає на ефективність роботи. Для вирішення таких компромісів був проведений ретельний аналіз роботи та зусиль, що діють в осциляторі в залежності від умов технологічного навантаження [5].

Для забезпечення ефективності роботи осцилятора він також забезпечений безтрансмісійним приводом від безпосередньо вмонтованого в пристрій електродвигуна та системою гіdraulічного розвантаження від моменту тертя сферичної опори. В результаті теоретичного аналізу складено вісім нелінійних рівнянь відносно восьми невідомих [5], серед яких основними є:

- радіус сферичної опори пресувача;
- площа та розміри порожнини розвантаження;
- коефіцієнт розвантаження;
- діаметр основи пресувача та ін.

Визначення числових значень параметрів осцилятора, які характеризують оптимальні величини цих невідомих, являється складним завданням із-за трудомісткості та значних обсягів обчислень. Для виконання цього завдання розроблена блок-схема алгоритму розрахунку параметрів осцилятора та складена і апробована за допомогою язика програмування FORTRAN-V програма KLTA.

Розрахунок основних параметрів механізму осцилятора в програмі проводиться за умови визначення їх оптимального співвідношення та для різних варіантів механічних властивостей матеріалу пресувача, і при різних значеннях ексцентризитету прикладання технологічного зусилля, який вираховується у відповідності до типу деталі, що штампується: дискова, фланцева чи кільцева. При цьому розмірність всіх величин, що вводяться чи виводяться задається в системі одиниць СІ, окрім табличних, які для зручності користувача запропоновані в більш розповсюджених розмірностях.

Аналіз результатів числових розрахунків

Вибрані результати розрахунків параметрів механізму осцилятора для випадку базових параметрів, що задаються:

- номінальна сила пресу для ШО – 500 тс;
- матеріал пресувача – Сталь 40Х ГОСТ 4543-71 НВ 230...280, наведені в табл. 1.

За результатами розрахунків побудовані залежності, які відображають величину допустимих зусиль, що діють на пресувач від ексцентрично прикладеної рівнодіючої технологічного навантаження (див. рис. 1). На графіку відображені максимальний ексцентризитет при номінальному зусиллі, що відповідає обробці циліндричної деталі та максимально допустимому за розмірами деталь при обробці на цьому обладнанні, але при умові відповідного зниження технологічного зусилля.

На рис. 2 надано графіки залежності основних параметрів механізму осцилятора в залежності від ексцентризитету прикладання рівнодіючої технологічного навантаження. З графіка видно, що зростанням ексцентризитету зростає потужність приводу та розміри пресувача. Але при цьому ККД залишається не змінним, що пояснюється тим, що осцилятор має оптимальні обраховані параметри та використанням безтрансмісійного приводу і системою гіdraulічного розвантаження сферичної опори пресувача від моменту тертя. При цьому розрахунковий ККД механізму осцилятора досягає значення 62%, що значно вище параметрів машин [6], в яких ККД приводу знаходяться в межах 40...50%.

Висновки

За результатами аналітичних досліджень роботи та навантажень основного механізму пресу для ШО – безтрансмісійного осцилятора, розроблена програма числового розрахунку основних параметрів та характеристик цього механізму, яка за допомогою комп’ютерної техніки може бути реалізована як окремо, так і в складі САПР спеціального обладнання для ШО.

Отримані при числового розрахунку результати дозволили побудувати графік допустимих зусиль на пресувачі в залежності від ексцентризитету їх прикладання по міцності пресувача, що дає можливість швидкого та наглядного проектування технологічних процесів ШО для різних за типами і розмірами деталей.

Таблица 1

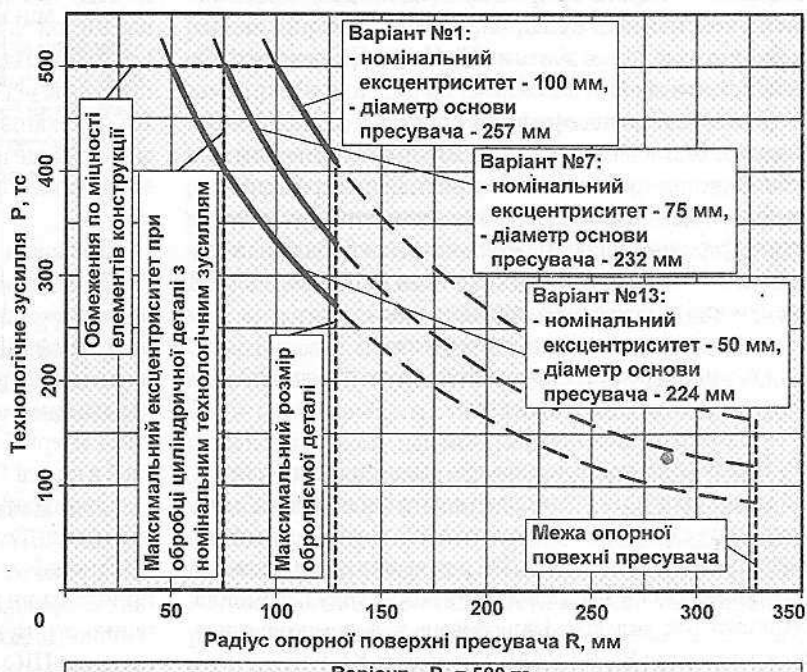
Вибрані результати розрахунків деяких параметрів осцилятора

№ № з/п	Параметр	Одиниці вимірю- вання	Варіант розрахунків			
			1...	...7...	...13	
1.	Номінальна сила пресу	P	N	$5*10^6$	$5*10^6$	$5*10^6$
2.	Маса рухомих частин	m_p	кг	10000	10000	10000
3.	Кут тертя в сферичн. опорі	ψ	рад.	0,08	0,08	0,08
4.	Кут нахилу осі пресувача	γ	рад.	0,044	0,044	0,044
5.	Коефіцієнт запасу міцності	n	-	1,5	1,5	1,5
6.	Конструктивна довжина осцилятора	L	м	1	1	1
7.	Межа витривалості на згин матеріалу пресувача	σ_{-1}	N/m	360	360	360
8.	Висота активного інструменту пресувача	H_a	м	0,05	0,05	0,05
9.	Тиск рідини напірного трубопроводу	p_{pt}	N/m ²	$0,3*10^8$	$0,3*10^8$	$0,3*10^8$
10.	Ексцентрикитет прикладання технологічного зусилля	r	м	0,1	0,075	0,05
11.	Радіус сферичної опори	r	м	0,33	0,33	0,325
12.	Діаметр основи пресувача	d _o	м	0,257	0,233	0,204
13.	Коефіцієнт розвантаження	K _p	-	0,89	0,91	0,93
14.	Кут до точки прикладання сили розвантаження	v	рад.	0,91	0,891	0,868
15.	Реакція в ексцентриковому роторі	R _c	N	$0,51*10^6$	$0,38*10^6$	$0,25*10^6$
16.	Реакція в сферичній опорі зі сторони прикладання сили	R _A	N	$0,65*10^6$	$0,5*10^6$	$0,34*10^6$
17.	Момент на ексцентриковому роторі	M _k	N*m	$0,73*10^4$	$0,54*10^4$	$0,36*10^4$
18.	Ексцентрикитет ротора	X _o	м	0,696	0,691	0,691
19.	Менший радіус порожнини розвантаження	r ₁	м	0,3	0,299	0,292
20.	Більший радіус порожнини розвантаження	r ₂	м	0,207	0,199	0,187
21.	Площа порожнини розвантаження	S _b	m ²	0,149	0,156	0,158
22.	Момент крутільний	M _{kd}	N*m	$0,1*10^3$	$0,9*10^4$	$0,6*10^4$
23.	ККД осцилятора	n	-	0,62	0,62	0,62
24.	Потужність приводу	N _{min}	N*m/c	$0,70*10^4$	$0,53*10^4$	$0,35*10^4$
25.	Параметри, що задаються:			Матеріал пресувача – Сталь 40Х ГОСТ 4543-71. Термообробка 840...860°C. Отпуск 540...580°C. НВ 230...280.		

Використання розробленої конструкції механізму осцилятора дозволяє підняти розрахунковий ККД його приводу до 62%, причому задіяні заходи підвищення ефективності роботи механізму дозволяють утримувати досягнутий рівень ККД незалежно від особливостей протікання технологічного процесу ШО.

Кафедра МПМ та ТП ММІ НТУУ “КПІ”, як розробник, має в розпорядженні програму числового розрахунку параметрів безтрансмісійного осцилятора преса для ШО і готова взяти участь в розробці і впровадженні високо-ефективних технологічних процесів та обладнання ШО.

Рис. 1. Графік допустимих зусиль на пресувачі у відповідності до його міцності при різному ексцентрикитеті прикладання технологічного зусилля на опорній поверхні пресувача



Варіант $R_h = 500$ тс,
матеріал пресувача - Сталь 40Х ГОСТ 4543-71,
термообробка 840...860 °C, отпуск 540...580 °C, НВ 230...280

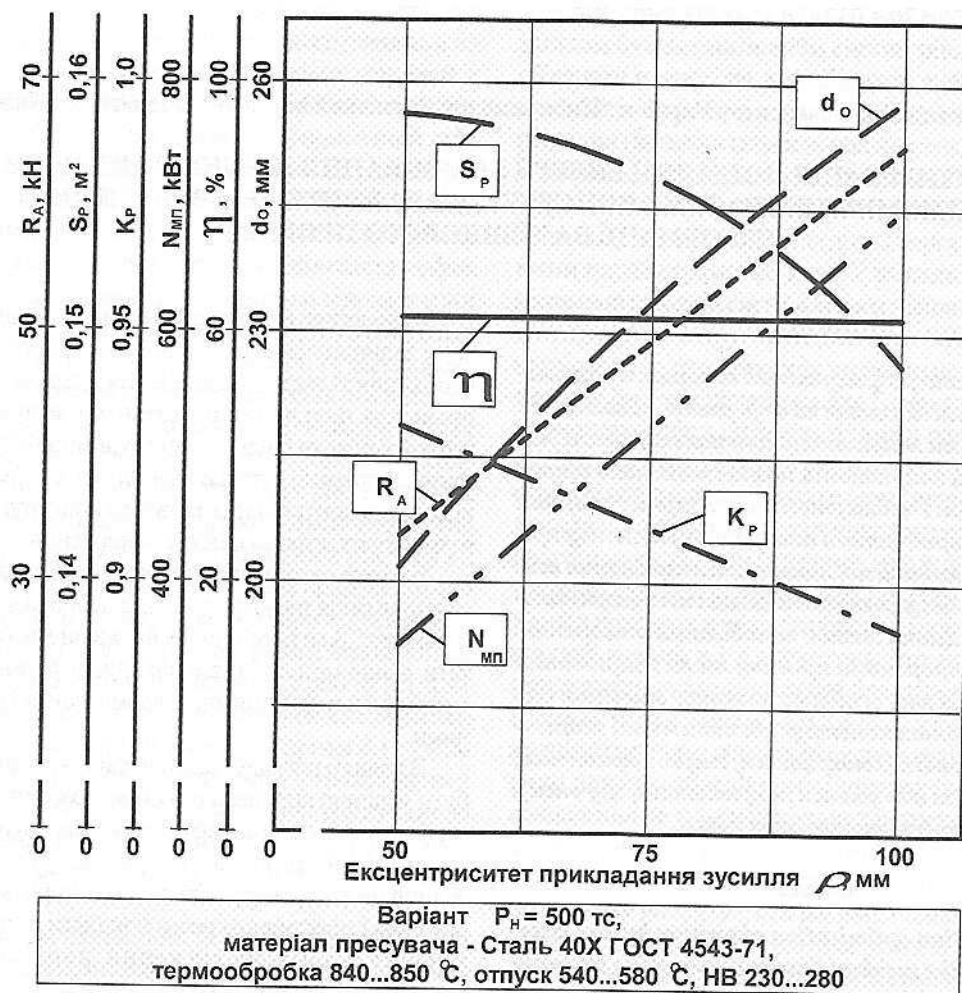


Рис. 2. Графік залежності основних параметрів, що розраховуються, від ексцентризитету прикладання технологічного зусилля

Література

1. Пресс для холодной штамповки методом обкатки. Проспект фирмы SCHMID. Heinrich Schmid Mashinen- und Werkzeugbau AG. CH – 8640 Rapperswil / Schweiz.
2. Челищев С.В. Кузнечно-прессовое оборудование в начале нового века. Кузнечно-штамповочное производство. 1998. №2. – С. 4–9.
3. Наговицын В.В. Технология и оборудование торцевой раскатки заготовок. Кузнечно-штамповочное производство. 1994. №12. – С. 15–17.
4. Авторское свидетельство СССР № 1650308. Кл. МКИ B21 D21/12. Машина для сферодвижной штамповки. – 1991. Б.И. № 19. – 6 с.
5. Кривда Л.Т., Гожий С.П. Безтрансмісійний осцилятор преса для штампування обковуванням. Технологические системы. №2 (18). – 2003. – С. 84–89.
6. Екимов К.К. Сферодвижный прессователь. // Сборник трудов ЛПИ. 1986. – № 54.